

## بررسی اثر ضخامت و چندلایه‌ای بودن پوشش بر رفتار فوتوكاتالیستی پوشش‌های نانوساختار تیتانیایی بر فولاد زنگ نزن ۳۰۴L

محمد خسروپناه<sup>۱</sup>، حسین سرپولکی<sup>۱</sup>، سعید کاویانی<sup>۲</sup>

<sup>۱</sup> دانشکده مواد و متالورژی دانشگاه علم و صنعت ایران، <sup>۲</sup> گروه مکانیک دانشکده فنی و مهندسی دانشگاه جامع امام حسین (ع)

hsarpoolaky@just.ac.ir

**چکیده:** در این تحقیق سعی برآن است که با ایجاد پوشش چندلایه نانوساختار تیتانیایی به روشن سل ژل - غوطه‌وری در سطح فولاد زنگ نزن ۳۰۴L، اثر ضخامت و چندلایه بودن بر رفتار فوتوكاتالیستی این پوشش‌ها بررسی شود. در فرایند پوشش دهنی، از یک سل پلیمری برپایه تیتانیوم ترا ایزوپروپیکساید همراه با افزوختن آمین استفاده شد و با تکرار فرایند غوطه‌وری، به دو روش مختلف تکباریخت و چندباریخت، نمونه‌های پوشش اتا لایه تهیه شدند. نمونه‌ها با استفاده از آنالیزهای DTA/TG، پراش اشعه ایکس، میکروسکوپ‌های SEM و AFM، آزمون زیری سطح و آزمون تخریب فوتوكاتالیستی مورد بررسی قرار گرفتند. نتایج SEM، XRDAFM، همگنی نشان دهنده ابعاد نانومتری ذرات تشکیل دهنده پوشش‌ها بودند. در بررسی مقطع عرضی پوشش‌ها توسط SEM نیز آثار گسستگی و ناپیوستگی بین لایه‌ها مشاهده نشد. نتایج XRD و DTA/TG نشان دهنده تشکیل شدن فاز آناناتاز از فاز آمورف در دمای حدود ۳۵۰°C و تشکیل جوانه‌های فاز روتایل از فاز آناناتاز در حدود ۵۰°C و حذف کامل آناناتاز در دمای ۲۰۰°C است. دمای بهینه برای عملیات حرارتی، ۴۵۰°C بدست آمد که نتایج آزمون فوتوكاتالیستی موید آن بود. نتایج بدست آمده، نشان دهنده تاثیر تعداد لایه‌ها و ضخامت پوشش بر خواص فوتوكاتالیستیان بود. از لحاظ خواص فوتوكاتالیستی، ضخامت بهینه برای پوشش چندلایه ۱۹۸ nm مربوط به نمونه ۳ لایه ۳ بار پخت بدست آمد. متوسط زیری (Ra) سطح در نمونه‌های پوشش چندلایه چند بار پخت با افزایش تعداد لایه‌ها از ۱۰/۰  $\mu\text{m}$  در نمونه تک لایه به ۱۴/۰  $\mu\text{m}$  در نمونه پنج لایه کاهش یافت.

**کلید واژه:** تیتانیا، سل ژل، پوشش نانو، فولاد زنگ نزن ۳۰۴L، خواص فوتوكاتالیستی.

### ۱- مقدمه

پوشش نانوتیتانیا در سطح مواد مختلفی قابل ایجاد است. اخیراً فلزات به زیرپایه‌هایی بسیار ایده‌آل برای این پوشش‌ها تبدیل شده‌اند. این امناشی از خواص فیزیکی بسیار مطلوب فلزات از جمله چرمگیگو داکتیل بودن آنها است [۱ و ۲]. از بین فلزات، فولادها بخصوص نوع زنگ نزن آن به علت کاربردهای بسیار گسترده آنها در صنعت و دیگر حوزه‌ها بسیار مورد توجه‌اند. با ایجاد پوشش تیتانیایی در سطح فولادها یا دیگر فلزات، می‌توان فلزات خودتمیزشونده و فوتوكاتالیست تولید کرد که به علت مزایای زیاد، روز به روز توسعه یافته و کاربردهای جدیدی پیدا کرده‌اند [۳ و ۱۲].

برای افزایش فعالیت فوتوكاتالیستی پوشش یعنی افزایش جذب اشعه و در نتیجه افزایش تعداد حاملین شارژ تهییج شده در پوشش، یک روش افزایش ضخامت آن است. اما یک محدودیت وجود دارد. پوشش‌های ضخیم‌تر، جذب بیشتری در محدوده

UV<sup>۱</sup> دارند و به علت تولید شدن تعداد حاملین شارژبیشتر، انتظار می‌رود که فعالیت فتوکاتالیستی بالاتری داشته باشند. اما زمان حیات این حاملین شارژ باید به اندازه کافی باشد تا بتواند قبل از ترکیب شدن مجدد، مهاجرت کرده و خود را به سطح برساند و در واکنش‌های فتوکاتالیستی سطح شرکت کنند. بعلاوه اگر همه اشعه در دسترس جذب شود و یا به علت افزایش بیش از حد ضخامت، فاصله از سطح آنقدر زیاد باشد که حاملین شارژ قبل از ترکیب شدن مجدد شناس کمی برای رسیدن به سطح داشته باشند، دیگر افزایش ضخامت پوشش فعالیت فتوکاتالیستی آن را افزایش نخواهد داد.<sup>[۴]</sup>

در نتایج تحقیقات نوبیوکی ساکایی<sup>۳</sup> و همکارانش<sup>[۵]</sup> در زمینه ورقه‌های نانوساختار<sup>۴</sup> تیتانیایی مشخص شده است که انرژی باندگپ این ورقه‌های نانوساختار در فیلم‌های چندلایه تیتانیایی، برحسب تعداد لایه‌ها تغییر نمی‌کند. این عدم تفاوت در انرژی باندگپ لایه‌های مختلف در سیستم چندلایه، نشان دهنده این است که ورقه‌های نانوساختار از لحاظ الکترونیکی نسبت به هم ایزوله هستند و هیچ گونه اثری بر سطح الکترونیکی<sup>۵</sup> ورقه‌های نانوساختار همسایه ندارند.<sup>[۵]</sup> تاتسو شیباتا<sup>۶</sup> و همکارانش<sup>[۶]</sup> نیز در نتیجه تحقیقات خود در زمینه مشابه بیان کرده‌اند که در فیلم‌های چندلایه نانوساختار تیتانیایی احتمالاً حالت گستگی بین لایه‌ها وجود داشته و یک ساختار پیوسته وجود ندارد. یعنی مطابق با حالتی که لایه‌ها از لحاظ الکترونیکی نسبت به هم ایزوله هستند. بنابراین حاملین شارژ تولید شده تحت تابش اشعه بخصوص در قسمت‌های درونی‌تر فیلم‌های چندلایه، باید به سختی به سوی سطح نفوذ کنند و احتمالاً در این مسیر در فرایندهایی مانند ترکیب شدن مجدد مصرف شده و نرخ مهاجرت آنها به سطح کاهش می‌یابد.<sup>[۶]</sup> بطورکلی مرزدانه‌ها و فصل مشترک‌ها می‌توانند به عنوان مراکزی برای ترکیب شدن مجدد الکترون-حرفره‌ها عمل کنند و در واقع نرخ پایین مهاجرت حاملین شارژ به سطح، عمدتاً ناشی از نرخ بالای ترکیب شدن مجدد آنها است.<sup>[۵و۶]</sup> هر دو محقق نام برد در فوق در نتایج تحقیقات خود گزارش گرده‌اند که براساس نتایج آنالیز طیف سنجی نوری<sup>۷</sup>، میزان جذب اشعه در فیلم‌های چندلایه با افزایش تعداد لایه‌ها و افزایش ضخامت افزایش یافته است. ولی فعالیت فتوکاتالیستی آنها به همین نحوه افزایش نیافته است. آنها پیش‌بینی کرده‌اند که برای مهاجرت کردن و انتقال یافتن حاملین شارژ به سطح، نوعی حرکت جهشی آنها از حد فاصل فصل مشترک لایه‌ها نیاز است و بنابراین باید سد بزرگی در مقابل آنها وجود داشته باشد و در این حین احتمالاً فرایندهایی مانند ترکیب شدن مجدد حاملین شارژ رخ می‌دهد.<sup>[۵و۶]</sup> بنابراین سعی شده است که در این تحقیق اثر ضخامت و نیز چند لایه بودن بر خواص فتوکاتالیستی پوشش تیتانیایی بهتر بررسی شود.

## ۲- روش انجام کار

فولاد مورد استفاده در این تحقیق به عنوان فلز زیرپایه پوشش تیتانیا، ورق فولاد زنگ نزن L ۳۰۴ به ضخامت ۲ میلیمتر بود که به صورت نمونه‌های مستطیل شکل در ابعاد mm ۲۰×۱۰ با دستگاه لیزر برش خورده و سپس تحت عملیات آماده سازی سطح

<sup>۱</sup> UltraViolet (UV)

<sup>۲</sup> Recombination of electron-hole

<sup>۳</sup> Nobuyuki Sakai

<sup>۴</sup> Nanosheet

<sup>۵</sup> Electronic State

<sup>۶</sup> Tatsuo Shibata

<sup>۷</sup> UV-VIS Spectroscopy

به شرح زیر قرار گرفته بود: ابتدا سمباده زنی سطح نمونه‌ها از مش ۴۰۰ تا ۳۰۰۰ سپس پولیش کاری سطح با خمیر الماسه  $1\mu\text{m}$  و نهایتاً انجام فرایند اولتراسونیک داخل استون، اتانول و نهایتاً آب مقطر، هر یک به مدت ۱۵ دقیقه برای تمیز شدن سطح نمونه‌ها. سپس نمونه‌ها تحت عملیات پوشش دهی قرار گرفتند. مواد اولیه مورد استفاده در تهیه سل پلیمری تیتانیا شامل ماده آغازگر<sup>۱</sup> تیتانیوم تترا ایزوپروپکساید<sup>۲</sup> (TTIP) به عنوان منبع تیتانیوم، الكل ایزوپروپانول<sup>۳</sup> (iPrOH) به عنوان حلال، دی‌اتanol آمین<sup>۴</sup> (DEA) به عنوان افزودنی سل (همه مواد ساخت شرکت مرک<sup>۵</sup>) و نهایتاً آب دیونیزه (W) برای فرایند هیدرولیز الکوکسید فلزی، با نسبت‌های مولی ۱ : ۱ : ۱ : ۲۵ به ترتیب برای TTIP:DEA:W:iPrOH است. برای پوشش دهی نمونه‌های فولادی از روش سل ژل به صورت غوطه‌وری<sup>۶</sup> با سرعت غوطه‌وری معادل  $3\text{cm/min}$  استفاده شد. نمونه‌ها پس از غوطه‌وری درون سل و خروج کامل، در یک محفظه بسته بزرگ بطور کامل در دمای اتاق خشک شدند. در مرحله بعد نمونه‌ها در یک کوره مافلیتحت عملیات حرارتی بعدی با سرعت گرمایش  $1^\circ\text{C}/\text{min}$  قرار گرفتند. نمونه‌ها به مدت ۳۰ دقیقه در دمای بیشینه نگهداری شده و پس از پایان سیکل عملیات حرارتی، در کوره سرد شدند. با این روش نمونه‌های سل خشک شده در دماهای  $400^\circ\text{C}$ ،  $500^\circ\text{C}$ ،  $600^\circ\text{C}$  و  $700^\circ\text{C}$  و نمونه‌های پوشش در دماهای  $400^\circ\text{C}$ ،  $450^\circ\text{C}$  و  $500^\circ\text{C}$  پخت شدند. روش نامگذاری نمونه‌های پوشش طبق جدول(۱) است. آنالیزهای حرارتی DTA/TG با نرخ گرمایش  $5^\circ\text{C}/\text{min}$  در محدوده دمایی  $25^\circ\text{C}$  تا  $900^\circ\text{C}$  انجام شد. برای این آنالیز از نمونه سل تیتانیابی که ابتدا به ژل تبدیل شده و سپس در خشک کن  $100^\circ\text{C}$  به مدت چند ساعت خشک شده بود، استفاده شد. برای آنالیز XRD، نمونه‌های حاصل از سل تیتانیابا سیکل حرارتی مشابه با نمونه‌های پوشش در دماهای  $400^\circ\text{C}$ ،  $500^\circ\text{C}$ ،  $600^\circ\text{C}$  و  $700^\circ\text{C}$  پخت شده و به حالت پودر درآورده شده و استفاده شدند. دو سری نمونه شامل(۱) سه عدد نمونه از فولاد زیرپایه (آماده سازی سطحی شده)، نمونه پوشش خشک شده و نمونه پوشش خشک شده و پخت شده در دمای بهینه از لحظه کیفیت سطحی و یکنواختی پوشش (توپوگرافی) و (۲) نمونه‌های پوشش چندلایه به منظور بررسی مقطع عرضی پوشش و تعیین ضخامت آنها با SEM بررسی شدند. جهت بررسی دقیق تر توپوگرافی سطح و ساختارهای سطحی پوشش ایجاد شده در سطح زیرپایه فولادی، از میکروسکوپ AFM با مود AC یا دینامیک استفاده شد. در آزمون تخریب فوتوكاتالیستی نمونه‌های پوشش، از متیل اورانز به عنوان ماده آلینده به صورت محلول آبی با غلظت  $2\text{mg/l}$  استفاده گردید. در هر آزمون  $25\text{ میلی لیتر}$  از این محلول درون یک بشر  $50\text{ ml}$  از جنس پیرکس ریخته شده و دو عدد نمونه پوشش یکسان به مساحت کل  $4\text{cm}^2$  در داخل محلول قرار گرفت. این مجموعه تحت تابش پرتو در محدوده نور مرئی VIS یا اشعه فرابنفش UV قرارداده شد. پرتودهی نمونه‌ها در داخل یک جعبه دست ساز انجام شد که سطح داخلی آن با کاغذ فوبیل آلمینیومی پوشانده شده بود. لامپ مورد استفاده جهت پرتودهی نمونه‌ها در محدوده نور مرئی، یک لامپ  $300\text{ وات}$  معمولی بوده و برای پرتودهی در محدوده اشعه فرابنفش، از یک لامپ UV نوع A با توان  $125\text{ وات}$  استفاده شده که محدوده طول موج تابشی آن بین  $360\text{ تا }410\text{ نانومتر}$  بوده و

<sup>1</sup>P recursor<sup>2</sup>Titanium Tetraisopropoxide (TTIP)<sup>3</sup>Isopropanol (iPrOH)<sup>4</sup>Diethanolamine (DEA)<sup>5</sup>Merck<sup>6</sup>Dip Coating

بیشینه تابش آن در طول موج  $370\text{ nm}$  قرار داشت. فاصله لامپ تا سطح نمونه‌ها  $10\text{ cm}$  تنظیم گردید. تاریخچه نمونه‌ها نیز قبل شروع آزمون، تاریکی کامل است. در هنگام شروع تست نیز از لحظه‌ای که نمونه‌ها داخل محلول قرار می‌گیرند، به مدت  $20\text{ دقیقه}$  در تاریکی قرار داده می‌شوند تا به تعادل برسند. زمان آزمون نیز  $90\text{ دقیقه}$  از لحظه روشن شدن لامپ است. برای بررسی تغییرات غلاظت محلول متیل اورانیز در اثر تخریب فوتوکاتالیستی نمونه‌های پوشش (میزان تغییر رنگ محلول) و محاسبه درصد تجزیه فوتوکاتالیستی بر حسب طول موج  $\lambda_{\max}$  برابر  $462\text{ nm}$ ، از دستگاه طیفسنجی نوری استفاده شد. میزان زبری سطح نمونه‌های پوشش بعد از شسته شدن سطح آنها توسط اتانول، با استفاده از یک آنالایزر رافنس سطح<sup>۱</sup> اندازه‌گیری گردید.

#### جدول ۱- روش نامگذاری نمونه‌های پوشش

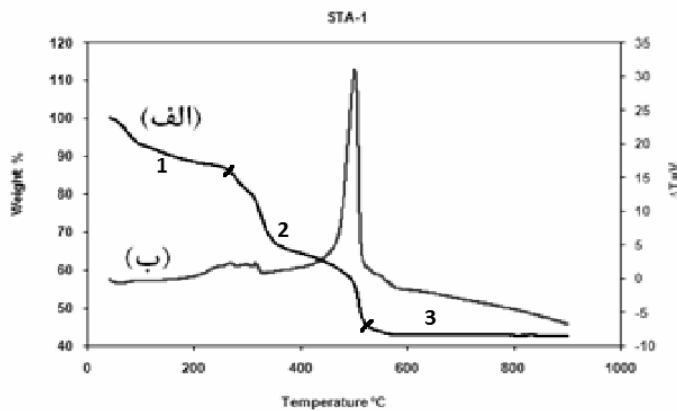
نمونه	روش نام‌گذاری	توضیحات	مثال	کلیه نمونه‌های گروه
نمونه با پوشش بیانگر دمای پخت نمونه	: TXXX XXX بیانگر دمای پخت نمونه	نمونه‌های پوشش تک لایه پخت شده در دماهای $400^{\circ}\text{C}$ و $500^{\circ}\text{C}$ به منظور تعیین دمای بهینه عملیات حرارتی	T <sub>400</sub> T <sub>450</sub> -T <sub>400</sub>	T <sub>500</sub> -T <sub>450</sub> -T <sub>400</sub>
نمونه با پوشش بیانگر تعداد لایه‌های پوشش	: LxBy X بیانگر تعداد لایه‌های پوشش	بعد هر بار غوطه وری فقط خشک شده و نهایتاً بعد ایجاد تعداد لایه‌های مورد نظر فقط یک بار پخت می‌شوند ( $450^{\circ}\text{C}$ ).	L <sub>3</sub> B <sub>1</sub> L <sub>5</sub> B <sub>1</sub> -L <sub>4</sub> B <sub>1</sub>	L <sub>3</sub> B <sub>1</sub> L <sub>5</sub> B <sub>1</sub> -L <sub>4</sub> B <sub>1</sub> نمونه چند لایه تک بار پخت
نمونه با پوشش بیانگر دفعات پخت نمونه	: LxB <sub>d</sub> d بیانگر دفعات پخت نمونه	بعد هر بار غوطه وری خشک شده و پخت می‌شوند. یعنی به تعداد لایه‌های پوشش پخت می‌شوند ( $450^{\circ}\text{C}$ ).	L <sub>3</sub> B <sub>2</sub> -L <sub>2</sub> B <sub>2</sub> -L <sub>1</sub> B <sub>1</sub> L <sub>5</sub> B <sub>2</sub> -L <sub>4</sub> B <sub>2</sub>	L <sub>3</sub> B <sub>2</sub> -L <sub>2</sub> B <sub>2</sub> -L <sub>1</sub> B <sub>1</sub> L <sub>5</sub> B <sub>2</sub> -L <sub>4</sub> B <sub>2</sub> نمونه چند لایه چند بار پخت

### ۳- نتایج و بحث

نتایج آزمون توزین حرارتی و آزمون حرارتی افتراقی سل تیتانیا در شکل(۱) نشان داده شده است که بر اساس آن منحنی کاهش وزن به سه منطقه قابل تقسیم است. بین دمای محیط تا  $270^{\circ}\text{C}$  تغییر وزنی در حدود  $10\%$  اتفاق می‌افتد که متعلق به تبخیر ایزوپروپانول و آب جذب شده فیزیکی است. تغییر وزن  $50\%$  بین  $270^{\circ}\text{C}$  تا  $530^{\circ}\text{C}$  به تبخیر دی اتانول آمین (دمای جوش دی اتانول آمین برابر  $269^{\circ}\text{C}$ ) و سوختن ترکیبات آلی شامل دی اتانول آمین و نیز باقی مانده ایزوپروپانول و ترکیبات آلی دیگر مرتب است. بعد از دمای  $530^{\circ}\text{C}$  تغییر چندانی در منحنی TG صورت نمی‌گیرد که این موضوع نشان دهنده برطرف شدن اکثر ترکیبات آلی در دماهایی پایین‌تر از این دما است. نتایج بدست آمده از این آزمون توزین حرارتی، مشابه زیادی با نتایج حاصل از پژوهشی مشابه دارد[۸]. پیک گرمایی ملایم (تدریجی) بوجود آمده در حدود  $300^{\circ}\text{C}$  در منحنی DTA نیز مرتبط با سوختن مواد آلی است. وجود پیک گرمایی در حدود  $350^{\circ}\text{C}$  مرتب با تبلور تدریجی فاز آناناگز از فاز آمورف تیتانیا است که تطابق مناسبی با پژوهش‌های مشابه دارد[۹ و ۱۰]. ولی احتمالاً به خاطر آزادشدن بسیار آهسته گرمای ناشی از فرایند کریستالیزاسیون، پیک شدیدی

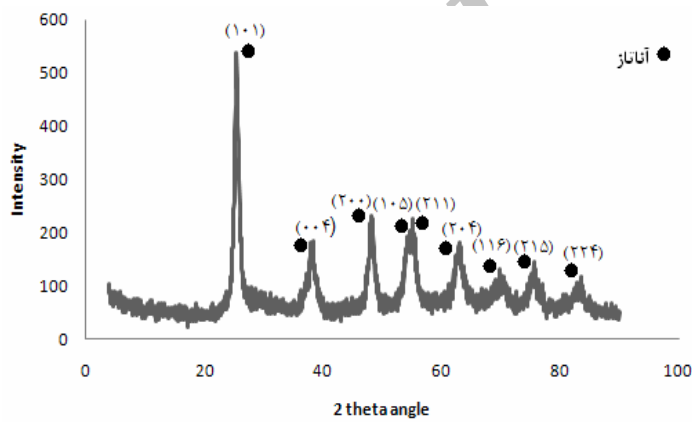
<sup>۱</sup> Roughness checker

در منحنی DTA در این دما ایجاد نشده است. همچنین پیک گرمایشی شدیدی که در حدود  $500^{\circ}\text{C}$  مشاهده می‌شود، شاهدی برای انجام استحاله فازی آناتاز به روتایل است.

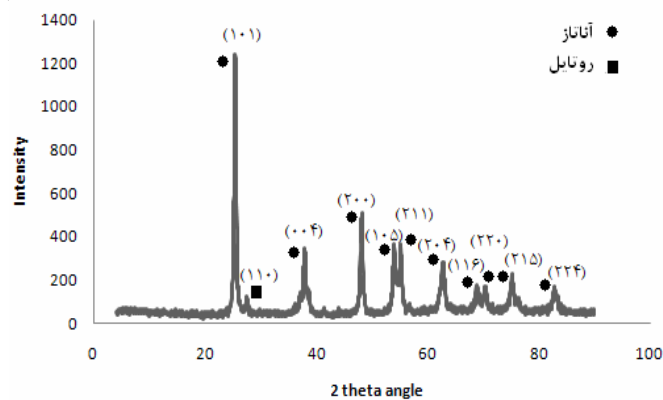


شکل ۱- منحنی (الف) آزمون توزین حرارتی TG و منحنی (ب) آزمون حرارتی افتراقی DTA مربوط به سل تیتانیا.

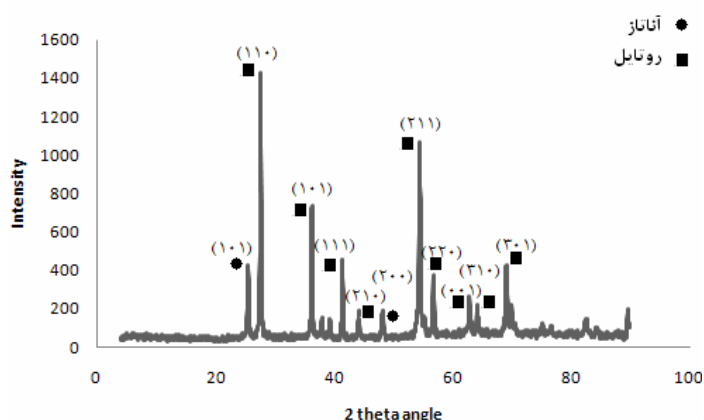
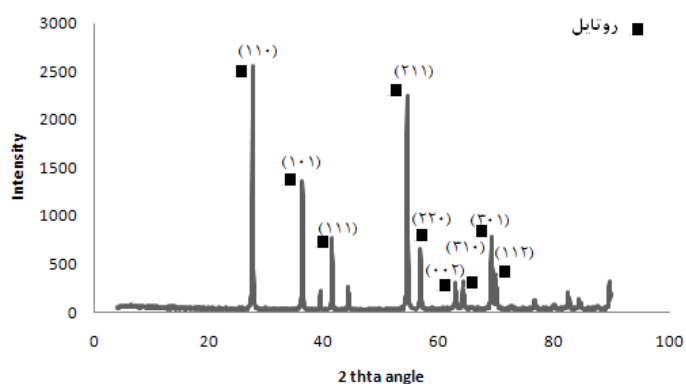
طیف پراش اشعه ایکس مربوط به پودر حاصل از سل تیتانیا بعد خشک شدن و انجام عملیات حرارتی در دماهای  $400^{\circ}\text{C}$ ،  $500^{\circ}\text{C}$  و  $600^{\circ}\text{C}$ ، به ترتیب در اشکال (۲) تا (۵) آورده شده است.



شکل ۲- طیف XRD مربوط به پودر تیتانیایی عملیات حرارتی شده در  $400^{\circ}\text{C}$



شکل ۳- طیف XRD مربوط به پودر تیتانیایی عملیات حرارتی شده در  $500^{\circ}\text{C}$

شکل ۴- طیف XRD مربوط به پودر تیتانیایی عملیات حرارتی شده در  $600^{\circ}\text{C}$ .شکل ۵- طیف XRD مربوط به پودر تیتانیایی عملیات حرارتی شده در  $700^{\circ}\text{C}$ .

طیف بدست آمده از پودر عملیات حرارتی شده در  $400^{\circ}\text{C}$  نشان‌دهنده وجود فاز آناتاز است. پیک‌های پهن آناتاز و همچنین شدت پایین پیک‌های آن در شکل(۲) حاکی از جوانه‌زنی فاز آناتاز از تیتانیای آمورف است که تطبیق مناسبی با نتیجه حاصل از آنالیز حرارتی دارد. اما در این دما هنوز فاز آمورف در کنار فاز آناتاز حضور دارد که این از پس زمینه<sup>۱</sup> نسبتاً بالای طیف XRD مشخص است. با افزایش دمای عملیات حرارتی به  $500^{\circ}\text{C}$ ، استحالة فاز آمورف به فاز آناتاز تکمیل شده و شدت پیک‌های آناتاز در شکل(۳) افزایش یافته است. در این دما حضور بسیار ناچیز فاز روتایل نیز مشخص شده است که احتمالاً در مراحل اولیه جوانه‌زنی به سر می‌برد. در دمای  $600^{\circ}\text{C}$  حضور هم زمان دو فاز روتایل و آناتاز به وضوح در شکل(۴) مشخص است. بر اساس روابط ترمودینامیکی، دمای شروع استحالة فازی آناتاز به روتایل حوالی دمای  $550^{\circ}\text{C}$  است[۱۱] که با نتایج آنالیز حرارتی همخوانی دارد. اما تشکیل زود هنگام فاز روتایل در شکل(۳) را در دمای  $500^{\circ}\text{C}$  می‌توان به زمان نگهداری در دمای بیشینه و نیز سرعت گرمایش متفاوت پودر تیتانیا استفاده شده در آنالیز XRD در قیاس با آزمون DTA/TG نسبت داد. همچنین پارامترهایی نظیر اندازه ذرات، شکل ذرات، سطح ویژه، اتمسفر، حجم نمونه، ناخالصی‌ها و روش اندازه‌گیری می‌تواند سبب ایجاد

<sup>1</sup> Background

تفاوت در دمای شروع استحاله آناتاز بهروتایل حاصل از نتایج حاصل از روابط ترمودینامیکی شود<sup>[۱۱]</sup>. در دمای  $700^{\circ}\text{C}$  شدت و تعداد پیک‌های فاز روتایل افزایش یافته است که نشانگر پیشرفت استحاله آناتاز به روتایل است، بگونه‌ای که تمامی فاز آناتاز به روتایل تبدیل شده است. با استفاده از رابطه شر<sup>[۱۲]</sup> [۱۲] اندازه کریستالیت پودرهای حاصل به صورت جدول (۲) محاسبه شد. براساس جدول، با بالا رفتن دمای عملیات حرارتی اندازه نسبی کریستالیت‌ها از  $29/6$  به  $52/1$  نانومتر افزایش یافته است. محاسبات فوق به خوبی اندازه نانومتری کریستالیت‌ها را اثبات می‌کند. معمولاً برای تعیین درصد فاز روتایل نسبت به آناتاز، از نتایج XRD استفاده می‌شود. البته عوامل متعددی همچون جهت گیری ترجیحی، مورفوژی و موقعیت جوانهزنی و رشد روتایل در نتایج آن موثر است<sup>[۱۳]</sup>. روش اسپر و میرز<sup>[۱۳]</sup> یکی از روش‌های شناخته شده برای بدست آوردن نسبت این فازها است که از نسبت شدت پیک مرتبط با صفحات (۱۰۰) روتایل در  $2\theta = 27/355^{\circ}$  به شدت پیک مرتبط به صفحات (۱۰۱) آناتاز در  $2\theta = 25/176^{\circ}$  استفاده می‌کند. از طریق این روش، شناسایی فاز آمورف امکان‌پذیر نیست. بنابراین در جدول (۳) درصد فاز آناتاز و روتایل از کل درصد فاز بلورین آورده شده است. از لحاظ خواص فوتوكاتالیستی، فاز آناتاز نسبت به روتایل برتری دارد<sup>[۱۴-۱۶]</sup>. برای ما نیز مطلوب است که بمنظور داشتن بهترین خواص فوتوكاتالیستی در نمونه‌ها، فقط فاز آناتاز حضور داشته باشد. چون علاوه بر خواص فوتوكاتالیستی بهتر آن، حضور فاز روتایل در کنار آناتاز می‌تواند باعث اختلالاتی در فعالیت فوتوكاتالیستی شود. علت آن می‌تواند ناشی از پدیده تفکیک بار به هنگام حضور دو فاز با خواص الکترونیکی متفاوت در کنار هم باشد<sup>[۱۷]</sup>. بنابراین سعی براین است که در نمونه‌ها حضور تقریباً  $100$  درصدی فاز آناتاز را داشته باشیم. با توجه به نتایج حاصل از شکل‌های (۲) و (۳) پیش‌بینی شد که اگر دمای عملیات حرارتی بین دماهای  $400$  و  $500^{\circ}\text{C}$  انتخاب شود، در نمونه‌ها بطور  $100$  درصد فاز آناتاز خواهیم داشت. این دما  $450^{\circ}\text{C}$  انتخاب شد که در مراحل بعدی به عنوان دمای بهینه در عملیات حرارتی نمونه‌های پوشش استفاده شده است.

جدول ۲- اندازه کریستالیت نمونه‌های پودری در دماهای متفاوت

سایز کریستالیت (nm)	$52/1$	$41/5$	$35/2$	$29/6$	دماهای عملیات ( $^{\circ}\text{C}$ )

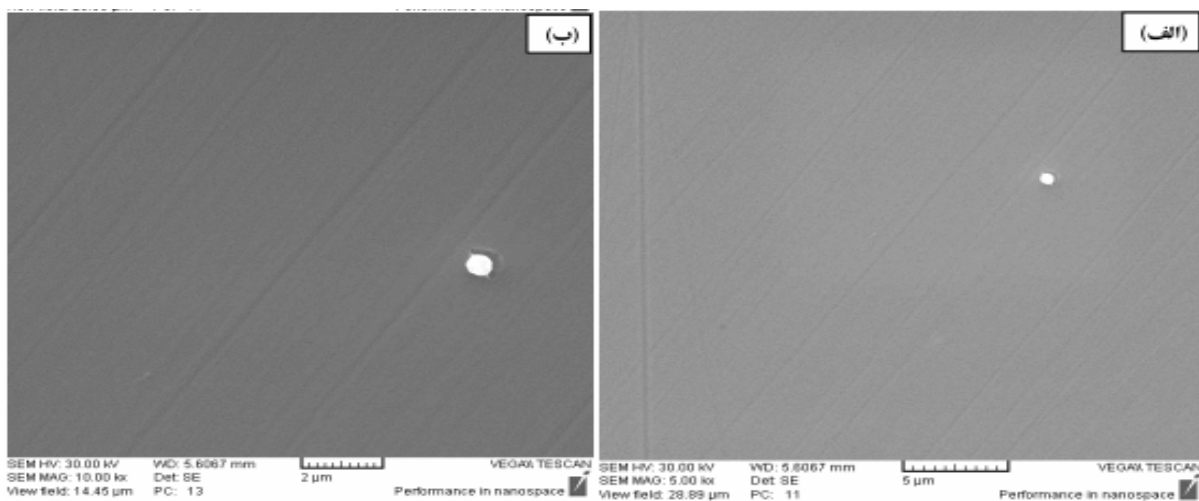
جدول ۳- درصد فازهای آناتاز و روتایل برای نمونه‌های پودری عملیات حرارتی شده در دماهای متفاوت

درصد فاز آناتاز	$100$	$82$	$8$	$-$	دماهای عملیات ( $^{\circ}\text{C}$ )

نتایج توپوگرافی سطح آماده سازی شده زیرپایه فولادی توسط SEM نشان دهنده آن بود که قبل پوشش دهی از کیفیت مناسبی از لحاظ پولیش کاری و صافی سطح برخوردار است. نتایج توپوگرافی سطح نمونه پوشش تک لایه خشک شده نیز حاکی از آن

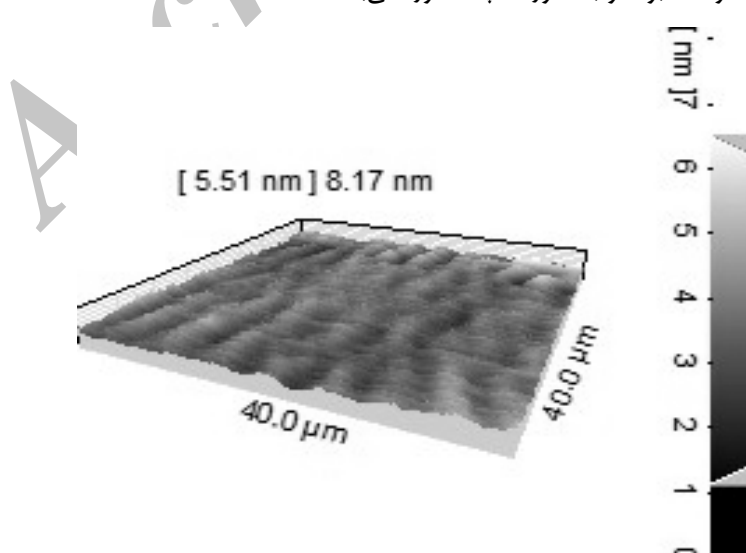
<sup>1</sup> Scherrer<sup>2</sup> Spurr and Myers

بودکه پوشش در شرایط خشک شده از کیفیت مناسبی برخوردار بوده و سطح را بطور کامل پوشش داده و قادر هرگونه ترک یا شکاف است. این مسئله موید آن است شرایط خشک کردن کاملاً مناسب بوده است.



شکل ۶- تصاویر SEM سطح پوشش تک لایه خشک شده و پخت شده در دمای  $450^{\circ}\text{C}$  (نمونه L1B1) در دو بزرگنمایی: (الف) ۵۰۰۰ برابر (ب) ۱۰۰۰۰ برابر.

در شکل (۶) تصاویر SEM سطح نمونه پوشش خشک شده و پخت شده در دمای  $450^{\circ}\text{C}$  (نمونه L1B1) در دو بزرگنمایی مختلف نشان داده است که در آن، سطح پوشش حتی بعد از پخت نیز قادر هرگونه ترک یا شکاف بوده و ظاهراً به صورت یکنواخت سطح زیرپایه را پوشانده است. برای بررسی دقیق‌تر توپوگرافی سطح پوشش پخت شده، از سطح همان نمونه (L1B1)، تصویر AFM تهیه شد. در تصویر AFM شکل (۷) زیرساختار سطح پوشش نهایی در مقیاس نانو قابل مشاهده است. حتی در تصویر توپوگرافی سطح در مقیاس نانو نیز شواهدی از ترک، شکاف و یا ساختاری خاص در سطح پوشش مشاهده نشده و سطح پوشش نهایی تقریباً یکنواخت بوده و به صورت تپه ماهور نمی‌باشد.



شکل ۷- تصویر AFM سطح نمونه پوشش L1B1

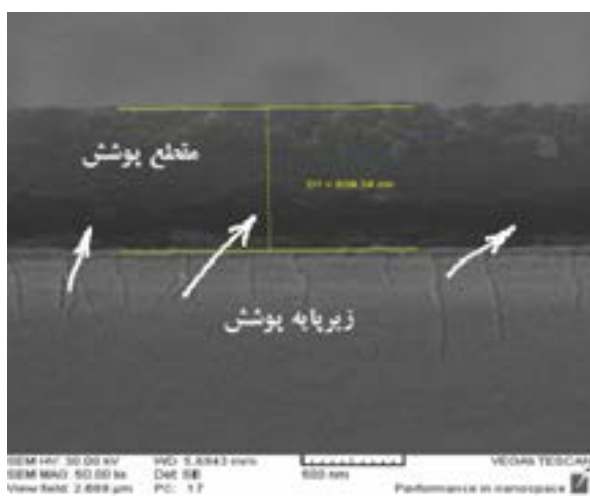
در اشکال (۸) تا (۱۲) به ترتیب تصویر SEM مقطع عرضی نمونه‌های پوشش L<sub>1</sub>B<sub>1</sub>, L<sub>2</sub>B<sub>2</sub>, L<sub>3</sub>B<sub>3</sub>, L<sub>4</sub>B<sub>4</sub>, L<sub>5</sub>B<sub>5</sub> (پوشش‌های چندلایه چند بار پخت) ملاحظه می‌شود. در مقطع عرضی نمونه‌های پوشش چندلایه که در طی چندین مرحله پوشش دهی و پخت تهیه شده‌اند، مرز مشخصی بین لایه‌های مختلف ایجاد شده طی هر مرحله مشاهده نشد. لایه‌ها در ظاهر کاملاً به هم پیوسته بوده و ساختار خاصی در مقطع عرضی پوشش چند لایه چند بار پخت مشاهده نشد. فقط در نمونه L<sub>5</sub>B<sub>5</sub> جدایش پوشش از سطح زیرپایه مشاهده می‌شود که احتمالاً در حین آماده سازی نمونه اتفاق افتاده است. ضخامت تقریبی پوشش‌های چندلایه چندبار پخت نیز با توجه به تصاویر SEM آنها از قرار جدول (۴) است. همانطور که در شکل‌های (۱۱) و (۱۲) مشخص است، به علت تخریب پوشش نمونه‌های L<sub>2</sub>B<sub>2</sub> و L<sub>1</sub>B<sub>1</sub> حین آماده سازی مقطع نمونه، امکان ضخامت سنجی دقیق از طریق تصویر SEM مقطع عرضی آنها وجود نداشته است. با توجه به تصاویر، بطور تقریبی ضخامت پوشش نمونه L<sub>2</sub>B<sub>2</sub> در حدود ۱۰۰ nm و نیز ضخامت پوشش نمونه L<sub>1</sub>B<sub>1</sub> زیر ۱۰۰ nm برآورد شد. به علت نازک بودن پوشش نمونه‌های چندلایه تک بار پخت (L<sub>1</sub>, L<sub>2</sub>, L<sub>3</sub>, L<sub>4</sub>, L<sub>5</sub>) و تخریب آنها حین برش زدن برای مشاهده مقطع عرضی (مشابه فوق)، امکان تهیه تصویر میکروسکوپی و در نهایت ضخامت سنجی آنها نبوده است. اما با توجه به ظاهر این نمونه‌ها می‌توان پیش‌بینی کرد که ضخامت این سری از نمونه‌ها تقریباً یکی بوده و تفاوت چندانی با یکدیگر ندارند. شکل (۱۳)، تصویری از ظاهر این نمونه‌ها ارائه می‌دهد که با توجه به آن ملاحظه می‌شود که ظاهر نمونه‌ها از جمله رنگ آنها یکسان بوده و همگی به رنگ آبی دیده می‌شوند. این نشان از یکسان بودن ضخامت پوشش‌ها بطور تقریبی است. در شکل (۱۴) نیز تصویری از ظاهر نمونه‌های چندلایه چند بار پخت ارائه شده است. مشاهده می‌شود که در این نمونه‌ها بر اثر تغییر ضخامت پوشش آنها، ظاهر آنها از لحاظ رنگ تغییر کرده است و هر نمونه بر حسب ضخامت پوشش خود به رنگ متفاوتی دیده می‌شود. با توجه به توضیحات فوق، بطور کلی ضخامت پوشش نمونه‌های چندلایه تک بار پخت حدوداً زیر ۱۰۰ nm تخمین زده می‌شود. علت یکسان بودن تقریبی ضخامت پوشش این نمونه‌ها بدین صورت توضیح داده می‌شود که در اثر هربار غوطه‌وری نمونه فولادی درون سل بمنظور پوشش دهی و ایجاد لایه جدید، لایه پوشش قبلی که فقط خشک شده است، در سل حل شده و در نهایت پوششی جدید تقریباً با همان ضخامت قبلی در سطح زیرپایه ایجاد می‌شود. بنابراین در طی چندین مرحله غوطه‌وری نمونه فولادی درون سل به منظور پوشش دهی و ایجاد لایه‌های بیشتر، در نهایت پوشش ایجاد شده در سطح تفاوت چندانی از لحاظ ضخامت پیدا نکرده و در واقع پوشش جدیدی در سطح پوشش خشک شده قبلی به وجود نمی‌آید.

جدول ۴- ضخامت نمونه‌های پوشش چندلایه چند بار پخت بدست آمده از تصاویر SEM مقطع عرضی آنها

نمونه پوشش	ضخامت (نانومتر)
L <sub>5</sub> B <sub>5</sub>	۹۴۰
L <sub>4</sub> B <sub>4</sub>	۲۵۰
L <sub>۳</sub> B <sub>۳</sub>	۱۹۸
L <sub>۲</sub> B <sub>۲</sub>	~۱۰۰
L <sub>۱</sub> B <sub>۱</sub>	<۱۰۰



شکل ۹- تصویر SEM مقطع عرضی نمونه پوشش L4B4



شکل ۸- تصویر SEM مقطع عرضی نمونه پوشش L5B5



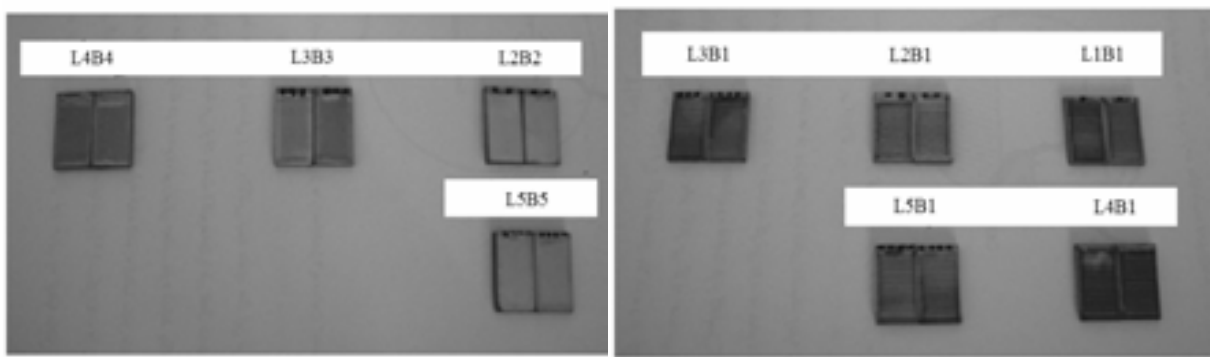
شکل ۱۰- تصویر SEM مقطع عرضی نمونه پوشش L2B2



شکل ۱۱- تصویر SEM مقطع عرضی نمونه پوشش L3B3

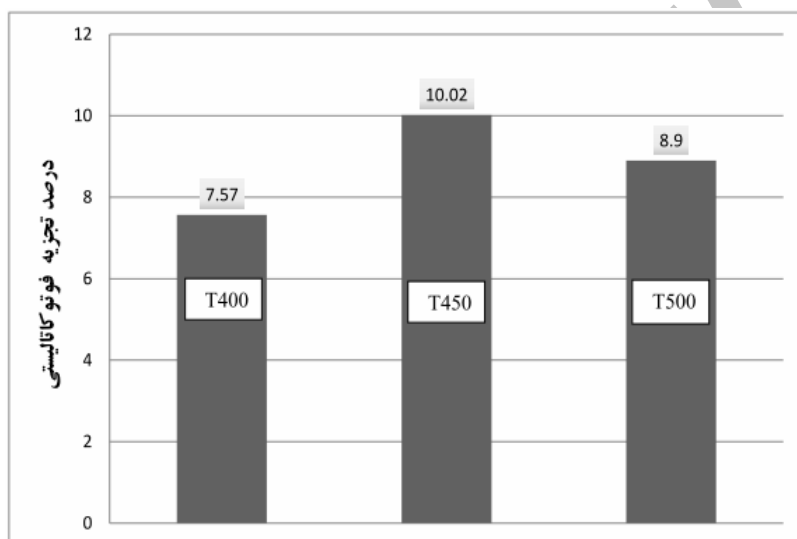


شکل ۱۲- تصویر SEM مقطع عرضی نمونه پوشش L1B1



شکل ۱۴- تصویر عکاسی ظاهر نمونه های پوشش چندلایه چندبار پخت.

شکل ۱۳- تصویر عکاسی ظاهر نمونه های پوشش چندلایه تک بار پخت.



شکل ۱۵- مقایسه درصد تجزیه فتوکاتالیستی نمونه های پوشش T۴۰۰، T۴۵۰ و T۵۰۰ بعد ۹۰ دقیقه تست فتوکاتالیستی.

نتایج آزمون فتوکاتالیستی نمونه های T۴۰۰، T۴۵۰ و T۵۰۰ تحت تابش UV در شکل (۱۵) نشان داده شده است. با توجه به مقادیر تجزیه فتوکاتالیستی مشخص شده در شکل برای هر نمونه، ملاحظه می شود که فعالیت فتوکاتالیستی این نمونه ها اساساً تفاوت زیادی با یکدیگر ندارد. ولی به هر حال نمونه T۴۵۰ بیشترین درصد تجزیه فتوکاتالیستی را داشته و بنابراین فعالیت فتوکاتالیستی بالاتری نسبت به دو نمونه دیگر دارد (نمونه T۴۰۰ و L1B1 یکسان هستند). بنابراین بهترین دما از بین ۴۰۰، ۴۵۰ و ۵۰۰ °C از لحاظ خواص فتوکاتالیستی، دمای ۴۵۰ °C است که براساس نتایج XRD به عنوان دمای بهینه برای عملیات حرارتی نمونه های پوشش پیش بینی شده بود. علت آن حضور ۱۰۰٪ فاز آناتاز در نمونه های پوشش در این دما است. خواص فتوکاتالیستی تیتانیا به عوامل مختلفی بستگی دارد. مانند درجه کریستالیزاسیون، ساختار کریستالی (نوع فازها: آناتاز- روتایل)، اندازه کریستالی، ریزساختار، عیوب شبکه ای و ناخالصی ها، تخلخل، مورفولوژی سطح و بخصوص مساحت سطح ویژه [۱۶ و ۱۸]. ولی به طور کلی مهمترین عوامل جهت دستیابی به بهترین خواص فتوکاتالیستی، ایجاد فاز کریستالی مناسب و مساحت سطح ویژه بالا ذکر شده اند [۱۶]. با توجه به برتر بودن فاز آناتاز نسبت به روتایل از لحاظ خواص فتوکاتالیستی علت

قضیه مشخص است. علت پایین تر بودن درصد تجزیه فوتوکاتالیستی نمونه  $T_{400}$  را نسبت به  $T_{450}$  می‌توان بدین صورت توضیح داد که در نمونه  $T_{400}$  با توجه به طیف XRD آن (شکل(۲)) فقط فاز آناتاز حضور دارد، اما باقیه نمونه از فاز آمورف تشکیل شده است که وجود پس زمینه بالا در طیف XRD بیانگر آن است. بنابراین فعالیت فوتوکاتالیستی آن نیز کمتر خواهد بود، چون همانطور که پیش تر اشاره شد درجه کریستالیزاسیون بر فعالیت فوتوکاتالیستی تاثیرگذار است. در نمونه  $T_{500}$  نیز با توجه به شکل(۳) به علت حضور فاز روتایل در کنار آناتاز، فعالیت فوتوکاتالیستی کاهش می‌یابد. با اینکه روتایل نیز یک ماده فوتوکاتالیست است، ولی حضور دو فاز آناتاز و روتایل در کنار یکدیگر باعث اختلال در فعالیتهای فوتوکاتالیستی می‌شود. این می‌تواند ناشی از پدیده تفکیک بار به هنگام حضور این دو فاز در کنار هم باشد. چون خواص الکترونیکی این دو فاز متفاوت است. بنابراین بسته به خواص آنها و بر حسب انرژی‌های مربوط به باندهای هدایت و والانس این دو فاز کریستالی، احتمالاً الکترون-حفره‌ها به سوی یکی از فازها هدایت شده و تجمع پیدا می‌کنند و تفکیک بار اتفاق می‌افتد[۱۷]. در نتیجه فعالیت فوتوکاتالیستی تحت تاثیر قرار گرفته و کاهش می‌یابد. البته در تحقیقات صورت گرفته توسط سنجانا باکارجیوا<sup>۱</sup> و همکارانش [۲۰] مشخص شده است که با حضور فاز روتایل در کنار آناتاز با درصد نسبی ۲۲/۶٪ روتایل-۷۷/۴٪ آناتاز، می‌توان به خواص فوتوکاتالیستی بهتری دست یافت [۲۰]. اما با توجه به نتایج ارائه شده در جدول(۳)، در دمای  $500^{\circ}\text{C}$  چنین نسبتی بین درصد فازهای آناتاز و روتایل وجود ندارد. در شکل(۱۶) نتایج آزمون فوتوکاتالیستی نمونه‌های پوشش چندلایه تک بار پخت (L<sub>5</sub>B<sub>5</sub>، L<sub>4</sub>B<sub>4</sub>، L<sub>3</sub>B<sub>3</sub>، L<sub>2</sub>B<sub>2</sub>، L<sub>1</sub>B<sub>1</sub>) تحت تابش UV نشان داده شده است. قابل ذکر است که همگی این نمونه‌ها در دمای بهینه  $450^{\circ}\text{C}$  پخت شده‌اند.

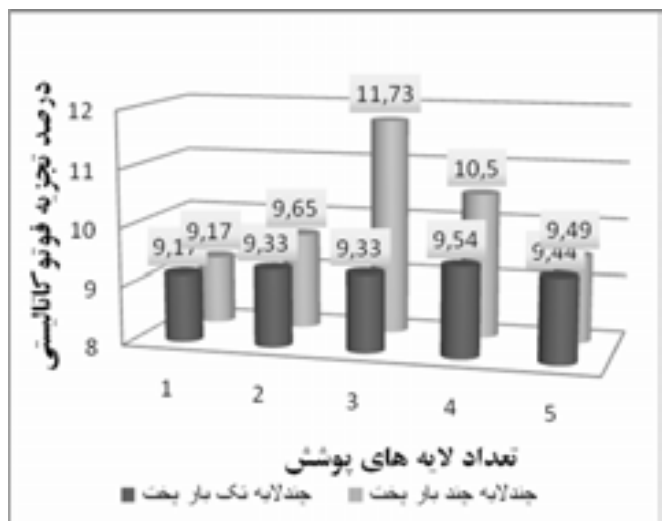


شکل ۱۶ - مقایسه درصد تجزیه فوتوکاتالیستی نمونه‌های پوشش چندلایه چند بار پخت و تک بار پخت تحت تابش UV.

با توجه به شکل مشخص است که در نمونه‌های چندلایه تک بار پخت با افزایش تعداد لایه‌ها (یعنی با افزایش تعداد دفعات غوطه‌وری)، افزایش محسوسی در درصد تجزیه فوتوکاتالیستی مشاهده نمی‌شود. یعنی این نمونه‌ها اساساً فعالیت فوتوکاتالیستی

<sup>۱</sup> Snejana Bakardjieva

مشابهی نسبت به هم دارند. اما در نمونه‌های چندلایه چند بار پخت با افزایش تعداد لایه‌ها، درصد تجزیه فتوکاتالیستی افزایش یافته و در نمونه سه لایه ( $L_3B_3$ ) به مقدار بیشینه خود می‌رسد. با افزایش بیشتر تعداد لایه‌ها در نمونه‌های  $L_4B_4$  و  $L_5B_5$  یک کاهش بسیار شدید در درصد تجزیه فتوکاتالیستی ملاحظه می‌شود. اما در کل نمونه‌های پوشش چند لایه چند بار پخت، درصد تجزیه فتوکاتالیستی بالاتری نسبت به نمونه‌های پوشش چند لایه تک بار پخت (با تعداد لایه‌های مساوی) نشان داده‌اند. نتایج آزمون تخریب فتوکاتالیستی برای نمونه‌های پوشش چند لایه چند بار پخت و چندلایه تک بار پخت، تحت نور مرئی (VIS) در شکل (۱۷) نشان داده شده است.



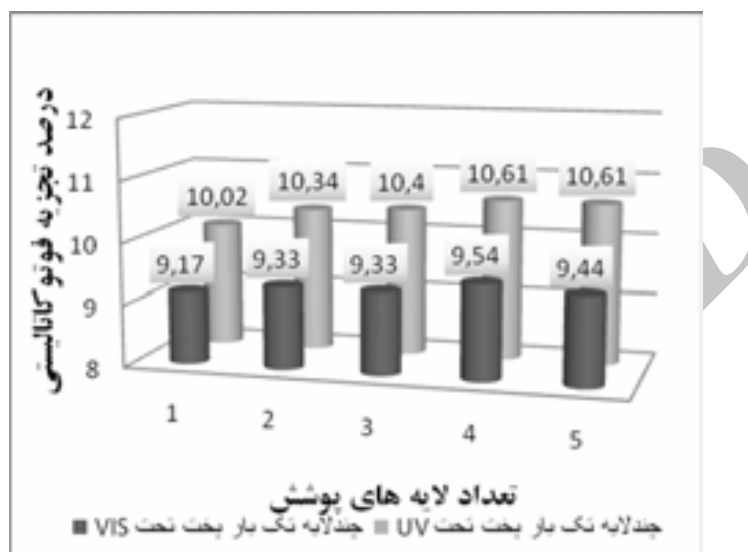
شکل ۱۷- مقایسه درصد تجزیه فتوکاتالیستی نمونه‌های پوشش چندلایه چندبارپخت و تکبارپخت تحت تابش VIS.

در این شکل نیز نمونه‌ها دقیقاً از روندی مشابه شکل (۱۶) پیروی می‌کنند. با مقایسه درصد تجزیه فتوکاتالیستی هر نمونه تحت دو تابش UV و VIS، مشخص است که در تمام نمونه‌ها درصد تجزیه فتوکاتالیستی تحت تابش UV بیشتر از درصد تجزیه تحت تابش VIS برای هر نمونه می‌باشد. این مسأله برای تمام نمونه‌ها صادق است و در شکل (۱۸) برای نمونه‌های پوشش چندلایه تک بار پخت و در شکل (۱۹) برای نمونه‌های چندلایه چند بار پخت مقایسه شده است. علت آن، محدوده جذب تیتانیا است که در حالت طبیعی نزدیک UV قرار دارد (کوانتموهای نوری در محدوده طول موج ۳۶۰ تا ۳۸۰ نانومتر) [۱۵]. بنابراین طبیعی است کلیه نمونه‌ها تحت تابش UV فعالیت فتوکاتالیستی بالاتری نشان داده و درصد تجزیه فتوکاتالیستی بیشتری داشته باشند. علت دیگر مسأله، پدیده جایجاوی آبی<sup>۱</sup> در محدوده جذبی تیتانیادر اثر ایجاد فیلم لایه نازک نانوساختار است [۱۶]. این پدیده عمدتاً در اثر پهن شدن باندگپ انرژی ناشی از اثرات اندازه ذره (QSE)<sup>۲</sup> می‌باشد [۱۷ و ۱۸]. در مورد نمونه‌های پوشش چندلایه تک بار پخت که هم تحت تابش UV و هم تحت تابش VIS اساساً فعالیت فتوکاتالیستی مشابهی نسبت به یکدیگر (با تعداد لایه‌های مختلف) نشان می‌دهند، باید گفت که چون در این نمونه‌ها ضخامت پوشش تقریباً یکسان است، بنابراین طبیعی است که فعالیت فتوکاتالیستی آنها نیز مشابه باشد. با توجه به آنچه در مقدمه ذکر شد، علت افزایش درصد تجزیه

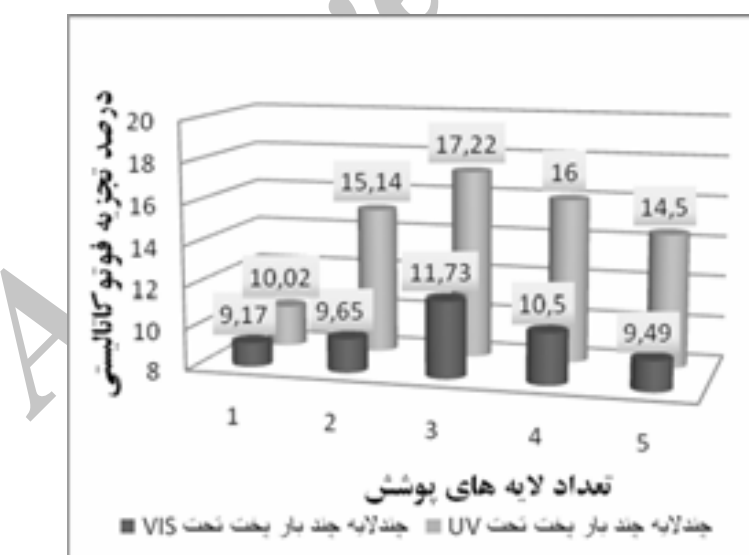
<sup>1</sup> Blue Shift

<sup>2</sup> Quantum Size Effect (QSE)

فتوکاتالیستی در نمونه‌های پوشش چندلایه چندبار پخت تا نمونه سه لایه (L<sub>3</sub>B<sub>3</sub>) و کاهش شدید آن در نمونه ۴ لایه و ۵ لایه (L<sub>5</sub>B<sub>5</sub>) مشخص است. در واقع در نمونه سه لایه یک ضخامت بهینه (برحسب تعداد لایه‌ها) حاصل شده که در آن، هم میزان جذب اشعه توسط پوشش با افزایش ضخامت (تعداد لایه‌ها) افزایش یافته است (به معنای تولید شدن تعداد حاملین بار بیشتر) و هم فاصله از سطح (ضخامت) برای حاملین بار در حدی است که شанс بیشتری برای مهاجرت کردن و رسیدن به سطح پیدا می‌کنند. بنابراین بیشینه فعالیت فتوکاتالیستی در نمونه‌های سه لایه با ضخامت تقریبی ۱۹۸ نانومتر مشاهده شد.



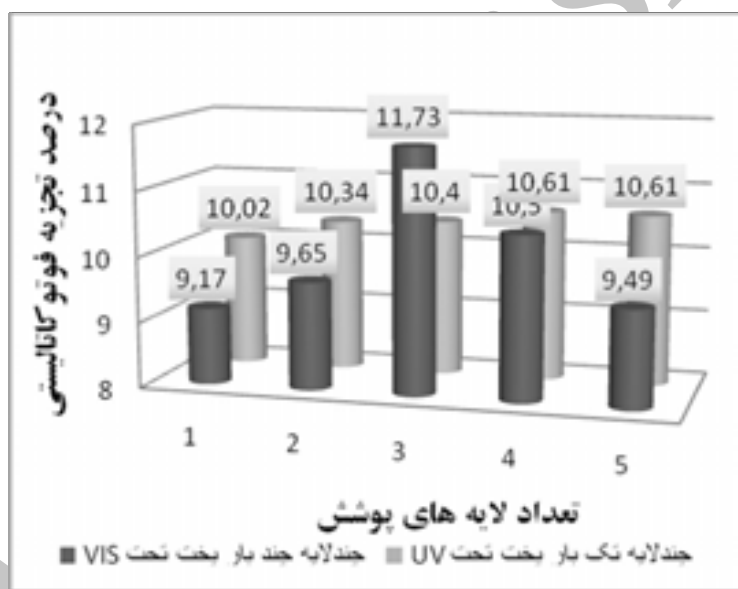
شکل ۱۸- مقایسه درصد تجزیه فتوکاتالیستی نمونه‌های پوشش چندلایه تکبارپخت تحت تابش UV و VIS.



شکل ۱۹- مقایسه درصد تجزیه فتوکاتالیستی نمونه‌های پوشش چندلایه چندبارپخت تحت تابش UV و VIS.

در شکل (۲۰) درصد تجزیه فتوکاتالیستی برای نمونه‌های پوشش چند لایه چند بار پخت تحت VIS با نمونه‌های چندلایه تک بار پخت تحت UV مقایسه شده است. براساس شکل در تمام نمونه‌های چندلایه چند بار پخت، درصد تجزیه فتوکاتالیستی تحت VIS از نمونه پوشش تک بار پخت نظیر خود (با تعداد لایه‌های مساوی) تحت UV کمتر است. ولی در نمونه سه لایه

(L<sup>3</sup>B<sup>3</sup>) عکس قضیه رخ داده است. به عبارتی نمونه L<sup>3</sup>B<sup>3</sup> تحت نور مرئی به مراتب فعالیت فتوکاتالیستی بالاتری نسبت به نمونه L<sup>3</sup>B<sup>1</sup> و یا حتی دیگر نمونه‌های پوشش چند لایه تک بار پخت تحت تابش UV نشان داده است. این مسئله ناشی از همین است که در نمونه L<sup>3</sup>B<sup>3</sup> ضخامتی بهینه حاصل شده است. یعنی با اینکه در فیلم‌های لایه نازک نانوساختار تیتانیا بی، جابجایی محدوده جذب ماده به سمت محدوده UV رخ می‌دهد ولی با بهینه بودن ضخامت پوشش پدیده جذب اشعه در محدوده VIS به اندازه کافی وجود دارد که فعالیت فتوکاتالیستی قابل ملاحظه‌ای ظاهر شود. بر همین اساس، کاهش شدید فعالیت فتوکاتالیستی در نمونه‌های L<sup>4</sup>B<sup>4</sup> و L<sup>5</sup>B<sup>5</sup> افزایش بیش از حد ضخامت پوشش است. دلیل دیگر افزایش فعالیت فتوکاتالیستی در نمونه‌های L<sup>4</sup>B<sup>4</sup> و L<sup>5</sup>B<sup>5</sup> فرایند نفوذ آهن در حین عملیات حرارتی از فولاد زیرپایه به درون پوشش تیتانیا و دپ شدن آهن در ساختار پوشش است. بخصوص در نمونه‌های نام برده که جهت ایجاد لایه‌های پوشش جدید، چندین مرحله پخت انجام شده است. براساس تحقیقات کام لاک لو<sup>1</sup> و همکارانش [۲۱] دپ شدن آهن درون تیتانیا در غلظت‌های مولی بسیار پایین، اثرات شدیدی بر استحالة فازی آناتاز به روتایل گذاشته و درصد نسبی فاز روتایل افزایش می‌یابد [۲۱] و در نهایت خواص فتوکاتالیستی بر اثر پدیده‌هایی مانند تفکیک بار بعلت حضور فاز روتایل در کنار آناتاز افت پیدا می‌کند.



شکل ۲۰- مقایسه درصد تجزیه فتوکاتالیستی نمونه‌های پوشش چند لایه چندبار پخت تحت تابش VIS با چند لایه تکبار پخت تحت تابش UV.

نتایج آزمون زبری سطح برای نمونه‌های پوشش چند لایه چند بار پخت در جدول (۵) بر حسب پارامتر متوسط زبری سطح<sup>۲</sup> ( $R_a$ ) گزارش شده است. در این جدول بیشینه ارتفاع قله ناهمواری‌های سطح<sup>۳</sup> ( $R_p$ ) و بیشینه عمق دره‌های بین ناهمواری‌های سطح<sup>۴</sup> ( $R_v$ ) نیز برای نمونه‌ها آمده است.

<sup>1</sup> CamLoc Luu

<sup>2</sup> Avraged surface roughness ( $R_a$ )

<sup>3</sup> Maximum profile peak height ( $R_p$ )

<sup>4</sup> Maximum profile valley depth ( $R_v$ )

جدول ۵- نتایج آزمون زبری سطح برای نمونه‌های پوشش چندلایه چند بار پخت

نمونه	$R_a$ ( $\mu\text{m}$ )	$R_p$ ( $\mu\text{m}$ )	$R_v$ ( $\mu\text{m}$ )
L <sub>۱</sub> B <sub>۱</sub>	۰/۱۰۷۰	۰/۳۰۷۰	۰/۳۴۳۰
L <sub>۲</sub> B <sub>۲</sub>	۰/۰۹۴۱	۰/۲۸۳۰	۰/۴۵۰۰
L <sub>۳</sub> B <sub>۳</sub>	۰/۰۴۷۸	۰/۱۷۶۰	۰/۳۷۲۰
L <sub>۴</sub> B <sub>۴</sub>	۰/۰۱۸۱	۰/۰۹۳۷	۰/۰۸۰۰
L <sub>۵</sub> B <sub>۵</sub>	۰/۰۱۴۷	۰/۰۲۸۷	۰/۱۵۷۰

( $R_a$ - متوسط زبری سطح- ( $R_p$ ) بیشینه ارتفاع قله ناهمواری‌های سطح- ( $R_v$ ) عمق دره‌های بین ناهمواری‌های سطح با توجه به جدول در حالت کلی با افزایش تعداد لایه‌های پوشش، متوسط زبری سطح کاهش می‌یابد. این روند کاهشی در نمونه‌های L<sub>۴</sub>B<sub>۴</sub> و L<sub>۵</sub>B<sub>۵</sub> به نسبت بیشتر است. علت کاهش زبری سطح با افزایش تعداد لایه‌ها در نمونه‌های پوشش چندلایه، تکرار فرایند غوطه‌وری بمنظور پوشش دهی لایه جدید بر سطح لایه قبلی است. زیرا در هین فرایند غوطه‌وری، امکان پرشدن دره‌های بین ناهمواری‌های سطح لایه پوشش زیرین وجود دارد. بدین ترتیب با افزایش تعداد دفعات غوطه‌وری، در هر مرحله بخشی از ناهمواری‌های سطح پوشش قبلی پرشده و در کل مقدار زبری سطح پوشش‌ها کاهش می‌یابد. کاهش بیشتر متوسط زبری سطح در نمونه‌های L<sub>۴</sub>B<sub>۴</sub> و L<sub>۵</sub>B<sub>۵</sub> می‌تواند دلیل دیگری بر کاهش شدید فعالیت فتوکاتالیستی آنها باشد. چون یکی از عوامل تأثیرگذار بر خاصیت آبدوستی سطح، میزان ناهمواری وزبری سطح است. با کاهش زبری سطح، خاصیت فوق آبدوستی سطح پوشش تیتانیایی افت کرده و در نتیجه آن خواص فتوکاتالیستی سطح نیز تحت تأثیر قرار می‌گیرد [۲۲]. براساس تحقیقات، با انجام عملیات حرارتی در فیلم‌های چندلایه نانوساختار تیتانیایی و تغییر یافتن مورفولوژی از حالت لایه‌ای<sup>۱</sup> به حالت دانه‌ای<sup>۲</sup>، میزان متوسط زبری سطح ( $R_a$ ) به علت پدیده رشد کریستالی در هین عملیات حرارتی افزایش می‌یابد [۶]. ولی به هر حال در نمونه‌های پوشش چندلایه چندبارپخت، با تکرار سیکل پخت بمنظور پوشش دهی لایه جدید بر سطح لایه قبلی، افزایش زبری سطح مشاهده نشد. قابل ذکر است که عدم افزایش زبری سطح در این نمونه‌ها با وجود سیکل‌های پخت متوالی، دلیل بر این نیست که پدیده رشد کریستالی اصلاً اتفاق نیافتداده است. بلکه ممکن است به علت ناچیز بودن مقدار آن اثر محسوسی ایجاد نکرده باشد و عوامل دیگر بر پدیده رشد کریستالی در تغییردادن خصوصیات زبری سطح غالب بوده باشند.

#### ۴- نتیجه‌گیری

نتایج AFM، SEM، XRD نمکی نشان دهنده ابعاد نانومتری ذرات تشکیل دهنده پوشش‌ها بودند. در بررسی مقطع عرضی پوشش‌ها توسط SEM نیز آثار گسستگی و ناپیوستگی بین لایه‌ها مشاهده نشد. نتایج XRD و DTA/TG نشان دهنده تشکیل

<sup>1</sup> Lamellar  
<sup>2</sup> Granular

شدن فاز آناتاز از فاز آمورف در دمای حدود  $350^{\circ}\text{C}$  و تشکیل جوانه‌های فاز روتایل از فاز آناتاز در حدود  $500^{\circ}\text{C}$  و حذف کامل آناتاز در دمای  $700^{\circ}\text{C}$  است. دمای بهینه برای عملیات حرارتی،  $450^{\circ}\text{C}$  بدست آمد که نتایج آزمون فوتوکاتالیستی موید آن بود. نتایج بدست آمده، نشان دهنده تاثیر تعداد لایه‌ها و ضخامت پوشش بر خواص فوتوکاتالیستی آن است. نمونه‌های پوشش چندلایه تک بار پخت به علت ضخامت تقریباً یکسان آنها، هم تحت تابش UV و هم تحت تابش VIS اساساً فعالیت فوتوکاتالیستی مشابهی نسبت به یکدیگر نشان دادند و درصد تجزیه فوتوکاتالیستی آنها بر حسب تعداد دفعات غوطه‌وری چندان تغییر نکرد. در نمونه‌های پوشش چندلایه چند بار پخت هم تحت تابش UV و هم تحت تابش VIS با افزایش تعداد لایه‌ها و افزایش ضخامت پوشش، درصد تجزیه فوتوکاتالیستی بطور محسوسی افزایش یافت و در نمونه سه لایه به مقدار بیشینه خود رسید و سپس در نمونه‌های چهار لایه و پنج لایه، یک کاهش شدید حاصل شد. متوسط زبری سطح در نمونه‌های پوشش چندلایه چند بار پخت با افزایش تعداد لایه‌ها از  $0.107\text{ }\mu\text{m}$  در نمونه تک لایه به  $0.147\text{ }\mu\text{m}$  در نمونه پنج لایه کاهش یافت. از لحاظ خواص فوتوکاتالیستی ضخامت بهینه برای پوشش تیتانیایی ۱۹۸ نانومتر مربوط به نمونه ۳ بار پخت بدست آمد.

## مراجع

- Evans, P. and Sheel, D. W. (2007) "Photoactive and antibacterial  $\text{TiO}_2$  thin films on stainless steel", *Surface and Coatings Technology*, 201, 9319–9324.
- Evans, P. and English, T. and Hammond, D. and Pemble, M. E. and Sheel, D.W. (2007) "The role of  $\text{SiO}_2$  barrier layers in determining the structure and photocatalytic activity of  $\text{TiO}_2$  films deposited on stainless steel", *Applied Catalysis A: General*, 321, 140–146.
- Permpoon, S. and Fallet, M. and Berthomé, G. and Langlet, M. (2005) "Photo-Induced Hydrophilicity of  $\text{TiO}_2$  Films Deposited on Stainless Steel via Sol-Gel Technique", *Journal of Sol-Gel Science and Technology*, 35, 127–136.
- Parkin, Ivan P. and Palgrave, Robert G. (2005) "Self-cleaning coatings", *Journal of Materials Chemistry*, 15, 1689–1695.
- Sakai, Nobuyuki and Ebina, Yasuo and Takada, Kazunori and Sasaki, Takayoshi (2004) "Electronic Band Structure of Titania Semiconductor Nanosheets Revealed by Electrochemical and Photoelectrochemical Studies", *Journal of the American Chemical Society*, 126 (18), 5851–5858.
- Shibata, Tatsuo and Sakai, Nobuyuki and Fukuda, Katsutoshi and Ebina, Yasuo and Sasaki, Takayoshi (2007) "Photocatalytic properties of titania nanostructured films fabricated from

- titania nanosheets'', *Physical Chemistry Chemical Physics*, 9, 2413-2420.
7. Chen, Y. (2007) "The Role of Preparation Conditions in Sol-Gel Methods on the Synthesis of Nanostructured Photocatalytic Films for Water Treatment", Doctor of Philosophy, Civil and Environmental Engineering of the College of Engineering, University of Cincinnati.
  8. Chen, Yongjun and Dionysiou, Dionysios D. (2006) "Correlation of structural properties and film thickness to photocatalytic activity of thick TiO<sub>2</sub> films coated on stainless steel", *Applied Catalysis B: Environmental*, 69, 24–33.
  9. Verma, A. and Agnihotry, S. A. ( 2007) "Thermal treatment effect on nanostructured TiO<sub>2</sub> films deposited using diethanolamine stabilized precursor sol", *Electrochimica Acta*, vol. 52, 2701-2709.
  10. Takahashi, Y. and Ohsugi, A. and Arafuka, T. and Ohya, T. and Ban, T. and Ohya, Y. (2000) "Development of New Modifiers for Titanium Alkoxide-Based Sol-Gel Process", *Journal of Sol-Gel Science and Technology*, vol. 17, 227-238.
  11. مظلوم، م. (۱۳۸۸) "تأثیرشرایط سنتز و افزومنی‌ها بر خواص فوتوكاتالیستی تیتانیا نانوساختار"، پایان‌نامه کارشناسی ارشد در رشته مهندسی مواد و متالورژی، دانشگاه علم و صنعت ایران، دانشکده مواد و متالورژی، تهران.
  12. Cullity, B. D. and Stock, S. R. (2001) *Elements of X-Ray Diffraction(3<sup>rd</sup> edn)*, Addison-Wesley1956.
  13. Hanaor, D. A. H. and Sorrell, C. C. (2011) "Review of anatase to rutile phase transformation", *Journal of Materials Science*, vol. 46, 855-874.
  14. Barati, N. and Faghihi Sani, M. A. (2009) "Coating of Titania Nanoparticles on Stainless Steel Using an Alkoxide Precursor", *Prog. Color Colorants Coat*, 2, 71-78.
  15. Diebold, Ulrike (2003) "The surface science of titanium dioxide", *Surface Science Reports*, 48, 53-229.
  16. Lee, Chang-Soo and Kim, Jungwon and Son, J. Y. and Maeng, W. J. and Jo, Du-Hwan (2009) "Plasma-Enhanced ALD of TiO<sub>2</sub> Thin Films on SUS 304 Stainless Steel for Photocatalytic Application", *Journal of The Electrochemical Society*, 156, 188-192.
  17. Linsebigler, Amy L. and Lu, Guangquan and Yates, John T. (1995) "Photocatalysis on TiO<sub>2</sub> Surfaces: Principles, Mechanisms, and Selected Results", *Chemical Reviews*, Vol. 95, No. 3, 735-758.

18. Warrier, K. G. K. and Rajesh Kumar, S. and Sibu, C. P. and Werner, G. (2001) "High Temperature Stabilisation of Pores in Sol-Gel Titania in Presence of Silica", Journal of Porous Materials, 8, 311–317.
19. Cheng, Ping and Zheng, Maoping and Jin, Yanping and Huang, Qiang and Gu, Mingyuan (2003) "Preparation and characterization of silica-doped titania photocatalyst through sol-gel method", Materials Letters, 57, 2989– 2994.
20. Bakardjieva, Snejana and Subrt, Jan and Stengl, Vaclav and Dinez, Maria Jesus and Sayagues, Maria Jesus (2005) "Photoactivity of anatase–rutile TiO<sub>2</sub> nanocrystalline mixtures obtained by heat treatment of homogeneously precipitated anatase", Applied Catalysis B: Environmental, 58, 193–202.
21. Luu, Cam Loc and Nguyen, Quoc Tuan and Ho, Si Thoang (2010) "Synthesis and characterization of Fe-doped TiO<sub>2</sub> photocatalyst by the sol-gel method", Advances in Natural Sciences: Nanoscience and Nanotechnology, 1, 015008 (5pp).
22. Parkin, Ivan P. and Palgrave, Robert G. (2005) "Self-cleaning coatings", Journal of Materials Chemistry, 15, 1689–1695.